FOTO 1.- (GS-CM-5000). Carretera Massoteres-Tora. Yesos en el núcleo del anticlinal de Sanaüja.

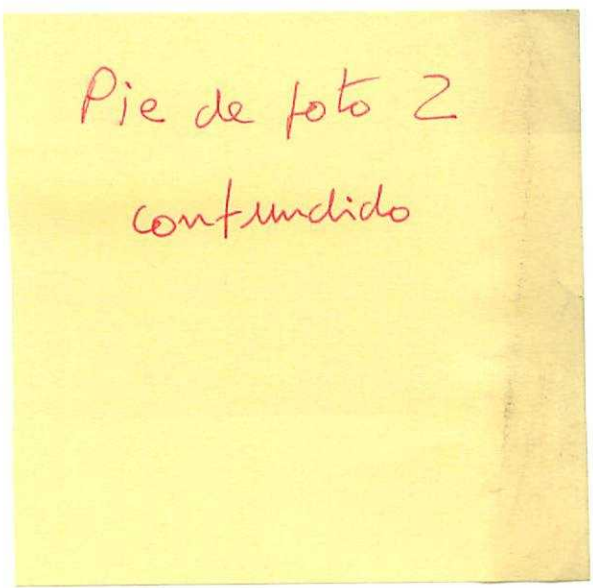


FOTO 2.- (GS-CM-5001). Carretera Massoteres-Torá. Yesos en el núcleo del anticlinal del Sanaüja.

FOTO 5.- (GS-CM-5007). Carretera Massoteres-Torá. Paleocanal en el techo de un ciclo de stream mouth bar lacustre. Complejo de Sanaüja.

FOTO 6.- (GS-CM-5008). Carretera Massoteres-Torá. Estratificación cruzada planar en las barras deltaico-lacustre del complejo de Sanaüja.

FOTO 7.- (GS-CM-5009). Carretera de Palenet-Torá. Discordancia angular en la molasa de Artés-Solsona.

FOTO 8.- (GS-CM-5010). Carretera de Torá a Ardévol. Paleocanales en la parte media de la molasa de Solsona.

FOTO 9.- (GS-CM-5011). Carretera Torá-Solsona. Paleocanales en la parte inferior de la molasa de Artés-Solsona.

FOTO 10.- (GS-CM-5012). Torá. Ciclos de barras del deltaico-lacustres del complejo de Sanaüja.

FOTO 11.- (GS-CM-5013). Tirá. Turbiditas del complejo lacustre de Sanaüja.

FOTO 12.- (GS-CM-5014). Ivorra. Margas y margocalizas en el complejo de Sanaüja.

FOTO 13.- (GS-CM-5015). Carretera Ivorra-Sant Ramón.
Calizas lacustres equivalentes a la parte inferior de la molasa de Solsona.

FOTO 14.- (GS-CM-5016). Carretera de Sant Ramon-Calaf.
Vista de la fosa tectónica de Perran.

FOTO 15.- (GS-CM-5017). Conill. Discordancia angular dentro de los equivalente lacustres de la molasa de Solsona.

FOTO 16.- (GS-CM-5021). Florejacs. Paleocanal de la parte superior de la malasa de Solsona.

FOTO 17.- (GS-CM-5022). Florejcs. Paleosuelo en la parte superior de la molasa de Solsona.

FOTO 18.- (GS-AH-3001). Aspecto de las areniscas rojas de la base de la Fm. Sanauja.

FOTO 19.- (GS-AH-3003). Detalle de ripples en las lutitas rojas de la Fm. Sanauja.

FOTO 20.- (GS-AH-3004). Detalle de convolute-bedding en las areniscas de la Fm. Sanauja.

FOTO 21.- (GS-AH-3005). Aspecto de las areniscas y calizas arenosas de los tramos detríticos rojizos de la Fm. Sanauja.

FOTO 22.- (GS-AH-3006). Panorámica de los canales de la Unidad sedimentaria 3.

FOTO 23.- (GS-RM-9501). SUrgencia de piping de tipo nicho en depósitos areno-limosos con gravas de fondo de valé.

FOTO 24.- (GS-RM-9502). Ripples de corriente de diversas escalas en el complejo lacustre de Sanauja.

FOTO 25.- (GS-RM-9503). Ripples de corriente de diversas escalas en el complejo lacustre de Sanauja.

FOTO 26.- (GS-RM-9504). Valle del Río Llobregos hacia el NW. Niveles de terraza T_3 y T_2.

FOTO 27.- (GS-RM-9505). Valle del Río Llobregos hacia el SE. Nivel de Terraza T_3 y Yesos de Torá con morfologías intensamente incididas.

FOTO 28.- (GS-RM-9506). Tunel de pippig sobre depósitos de fondo de valé.

FOTO 29.- (GS-RM-9507). Gravas angulosas con morfología tabloide en matriz de lutitas. Depósitos de - colüvión.

FOTO 30.- (GS-RM-9508). Morfología en artesa de los fondos de vale.

FOTO 31.- (GS-RM-9509). Surgencia de piping en depósitos de fondo de vale.

FOTO 32.- (GS-RM-9510). Aspecto de los depósitos de bloques calcáreos asociados a la falla que limita al N. la Fosa de Ferrán.

FOTO 33.- (GS-RM-9511). Impacto ambiental de la escombrera de la Mina de Segur.

FOTO 34.- (GS-RM-9512). Fosa de Portell, prolongación de la Fosa de Ferran, limitada por las fallas directas.




















PENTAX











































